

**ДИФФЕРЕНЦИАЛЬНЫЕ  
УРАВНЕНИЯ**

ТОМ VIII, № 8

**ИЗДАТЕЛЬСТВО «НАУКА И ТЕХНИКА»**

---

**МИНСК 1972**

УДК 518.733.431

### МОДЕЛЬНЫЙ ПРИМЕР ИГРОВОЙ ЗАДАЧИ ПРЕСЛЕДОВАНИЯ С НЕПОЛНОЙ ИНФОРМАЦИЕЙ. II

В. С. ПАЦКО

Данная статья является продолжением работы [1]. Все определения и обозначения, введенные в [1], сохраняются.

В [1] исходная игровая задача преследования при неполной информации преследователя о координатах преследуемого движения была сведена к дифференциальной игре с полной информацией. Напомним основное содержание этой игры (подробно она описана в § 3 работы [1]).

Движение фазовой точки в трехмерном пространстве  $(x_1, x_2, x_3)$ ,  $x_3 \geq 0$ , описывается уравнениями

$$\dot{x}_1 = v_1 - x_2, \quad \dot{x}_2 = u, \quad \dot{x}_3 = v_2 - v_1. \quad (3.1)$$

Окончанием игры считается попадание фазовой точки в точку  $m = (0, c, 0)$ . Игрок  $P$  стремится завершить игру как можно скорее, интересы игрока  $E$  противоположны. Управление  $u$  игрока  $P$  ограничено условием  $|u(t)| \leq \mu$ . Управления  $v_1, v_2$  игрока  $E$  в множестве  $L = R \setminus Q$  и в полуплоскости  $Q_1(Q_2)$  при  $x_2 < -\frac{v}{2}(k-1)$  ( $x_2 > \frac{v}{2}(k+1)$ ) фиксированы:  $v_1 = 0$ ,  $v_2 = v \geq 0$ . В полуплоскости  $Q_1(Q_2)$  при  $x_2 \geq -\frac{v}{2}(k-1)$  ( $x_2 \leq \frac{v}{2}(k+1)$ ) управления  $v_1, v_2$  связаны соотношением

$$v_1(t) = v_2(t) + \frac{2}{k+1} (x_2(t) - v_2(t)) \quad (3.2)$$

$$\left( v_1(t) = v_2(t) + \frac{2}{k-1} (v_2(t) - x_2(t)) \right). \quad (3.3)$$

Независимым считается управление  $v_1$ . Оно ограничено условием

$$0 \leq v_1(t) \leq v + \frac{2}{k+1} (x_2(t) - v)$$

$$\left( 0 \leq v_1(t) \leq v + \frac{2}{k-1} (v - x_2(t)) \right).$$

Требуется найти способ поведения игрока  $P(E)$  по принципу обратной связи: оптимальную тактику  $\{u^0, \delta^0\}$  (оптимальное управление  $v_1^0[x]$ ), гарантирующий ему наименьшее (наибольшее) время перевода системы (3.1) в точку  $m$  из любой начальной позиции  $x_0 \in R$  при любом поведении игрока  $E(P)$ .

В [1, § 4] эта задача была решена при  $c = v = 0$ . В настоящей статье приводится ее решение при  $c > v > 0$ ,  $k > 1 + \frac{2c}{v}$ .

§ 5. РЕШЕНИЕ ДИФФЕРЕНЦИАЛЬНОЙ ИГРЫ ПРИ  $c > v > 0$ ,  $k > 1 + \frac{2c}{v}$

1. Пусть  $M$ —произвольное подмножество множества  $R$ . Обозначим

$$\tilde{M}_1 = \left\{ x : x \in M \cap Q_1, x_2 \geq -\frac{v}{2}(k-1) \right\}, \quad (5.1)$$

$$\tilde{M}_2 = \left\{ x : x \in M \cap Q_2, x_2 \leq \frac{v}{2}(k+1) \right\}, \quad \tilde{M} = \tilde{M}_1 \cup \tilde{M}_2.$$

Положим

$$\omega(x) = \begin{cases} v + \frac{2}{k+1}(x_2 - v), & \text{если } x \in Q_1, \\ v + \frac{2}{k-1}(v - x_2), & \text{если } x \in Q_2. \end{cases}$$

Через  $[ab]$  обозначим множество всех точек дуги  $ab$ , включая (исключая) крайнюю точку  $a$  ( $b$ ). Будем также использовать обозначения  $[ab]$ ,  $(ab)$ ,  $(ab)$ ; смысл их понятен из предыдущего определения.

Оптимальную тактику  $\{u^0, \delta^0\}$  найдем как предел последовательности тактик  $\{u^{(i)}, \delta^{(i)}\}$ ,  $i=1, 2, \dots$ . При любом  $i$  тактика  $\{u^{(i)}, \delta^{(i)}\}$  будет оптимальной для начальных позиций в некотором множестве  $F^{(i)} \subset R$ , содержащем точку  $m$ ; последовательность  $(F^{(i)})$  будет возрастающей,  $\lim_{i \rightarrow \infty} F^{(i)} = R$ .

Положим

$$u^{(i)}[x] = \begin{cases} \mu, & \text{если } x \in A^{(i)}, \\ -\mu, & \text{если } x \in B^{(i)}, \end{cases}$$

где  $A^{(i)}$ ,  $B^{(i)}$ —некоторые множества (точно они определяются в дальнейшем), удовлетворяющие условиям

$$A^{(i)} \cup B^{(i)} = R, \quad A^{(i)} \cap B^{(i)} = \emptyset, \quad A^{(l)} \subset A^{(k)} \quad \text{при } l < k.$$

Второй элемент тактики—последовательность  $(\delta_n^{(i)}[x])$ , условимся особо определять при любом  $i$  лишь на некоторых кривых в множестве  $Q$ . Без пояснений будем предполагать, что в остальных точках множества  $R$   $(\delta_n^{(i)}[x]) = \delta^{(i)}[x]$ , а функция  $\delta^{(i)}[x]$  выбирается так, чтобы при любой реализации  $v_1(t)$  фазовая точка из позиции  $x(t^*) = x^* \in A^{(i)}$  ( $B^{(i)}$ ) не могла на отрезке  $[t^*, t^* + \delta^{(i)}[x^*]]$  выйти за пределы множества  $\bar{A}^{(i)}$  ( $\bar{B}^{(i)}$ ) при  $u(t) \equiv u[x^*]$ .

Введем множества  $V_i^{(i)}$ ,  $i=1, 2, \dots$ , управлений  $v_1^{(i)}[x]$ ,  $x \in \bar{A}^{(i)} \cup \bar{B}^{(i)}$ , отличающихся друг от друга только на некоторых кривых  $[b_i b_1]$ ,  $(f_1 f_i)$ , лежащих на границе множеств  $\bar{A}^{(i)}$  и  $\bar{B}^{(i)}$ ; при  $i=1$  ( $i \leq 3$ ) множество  $[b_i b_1]$  ( $(f_1 f_i)$ ) будем считать пустым. На кривых  $[b_i b_1]$ ,  $(f_1 f_i)$  каждое управление  $v_1^{(i)}[x]$  условимся считать кусочно непрерывным и равным на интервале непрерывности либо 0, либо  $\omega(x)$ ; на кривой  $[b_i b_1]$  ( $(f_1 f_i)$ ) в интервал непре-

рывности будем включать крайнюю нижнюю (верхнюю) точку этого интервала. В остальных точках множества  $\tilde{A}^{(i)} \cup \tilde{B}^{(i)}$  примем

$$v_1^{(i)} [x] = \begin{cases} 0, & \text{если } x \in \overset{\circ}{B}^{(i)}, \\ \omega(x), & \text{если } x \in \bar{A}^{(i)} \setminus ([b_i b_1] \cup [f_1 f_i]), \end{cases}$$

где  $\overset{\circ}{B}^{(i)} = (\tilde{A}^{(i)} \cup \tilde{B}^{(i)}) \setminus \bar{A}^{(i)}$ . Любое управление  $v_1^{(i)} [x]$  из множества  $V_1^{(i)}$  будет оптимальным для начальных позиций из множества  $F^{(i)}$ .

При любом  $i$  каждому управлению  $v_1^{(i)} [x] \in V_1^{(i)}$  поставим в соответствие управление  $\hat{v}_1^{(i)} [x]$ , отличающееся от  $v_1^{(i)} [x]$  только на некоторой кривой  $c_i b_i$ , лежащей в  $R \setminus F^{(i)}$  на границе множеств  $\tilde{A}^{(i)}$  и  $\tilde{B}^{(i)}$ : на кривой  $c_i b_i$   $\hat{v}_1^{(i)} [x] = 0$ . Полученное так множество управлений  $\hat{v}_1^{(i)} [x]$  обозначим через  $\hat{V}_1^{(i)}$ .

Функции  $v_1^{(i)} [x]$  ( $\hat{v}_1^{(i)} [x]$ ) разрывны. Поэтому при некоторых реализациях  $u(t)$  решение системы (3.1) в силу  $v_1^{(i)} [x]$  ( $\hat{v}_1^{(i)} [x]$ ),  $u(t)$  может быть не единственным. Условимся в таких случаях ставить в соответствие реализации  $u(t)$  и функции  $v_1^{(i)} [x]$  ( $\hat{v}_1^{(i)} [x]$ ) то из решений системы (3.1), которое отвечает непрерывной справа реализации  $v_1(t)$ , возбуждаемой функцией  $v_1^{(i)} [x]$  ( $\hat{v}_1^{(i)} [x]$ ); существование и единственность указанного решения будет следовать из вида функции  $v_1^{(i)} [x]$  ( $\hat{v}_1^{(i)} [x]$ ).

Назовем эталонным движением  $x^{(i)}(t)$  ( $\hat{x}^{(i)}(t)$ ) предел при  $n \rightarrow \infty$  движений системы (3.1) в силу функций  $u^{(i)} [x]$ ,  $\delta_n^{(i)} [x]$ ,  $v_1^{(i)} [x]$  ( $\hat{v}_1^{(i)} [x]$ ). В рассматриваемых случаях при любой начальной позиции этот предел будет существовать и будет единственным. При одной и той же начальной позиции  $x_0$ , но разных управлениях  $v_1^{(i)} [x]$  ( $\hat{v}_1^{(i)} [x]$ ) из множества  $V_1^{(i)}$  ( $\hat{V}_1^{(i)}$ ) могут получиться различные движения  $x^{(i)}(t)$  ( $\hat{x}^{(i)}(t)$ ), однако все они придут в точку  $m$  через одинаковое время

$$T^{(i)} [x_0] = \lim_{n \rightarrow \infty} T_{u^{(i)}, \delta_n^{(i)}, v_1^{(i)}} [x_0], \quad v_1^{(i)} [x] \in V_1^{(i)}$$

$$(\hat{T}^{(i)} [x_0] = \lim_{n \rightarrow \infty} T_{u^{(i)}, \delta_n^{(i)}, \hat{v}_1^{(i)}} [x_0], \quad \hat{v}_1^{(i)} [x] \in \hat{V}_1^{(i)}).$$

Условимся при описании движений системы (3.1) в множестве  $Q$  указывать только управления  $u$  и  $v_1$ , ибо  $v_2$  можно вычислить по  $v_1$  из формул (3.2), (3.3).

2. Зададим множества  $A^{(1)}$  и  $B^{(1)}$ :

$$A^{(1)} = \left\{ x : x \in R, x_2 \geq c, x_1 > \frac{x_2^2 - c^2}{2\mu} \right\} \cup$$

$$\cup \left\{ x : x \in R, x_2 < c, x_1 \geq \frac{c^2 - x_2^2}{2\mu} \right\},$$

$$B^{(1)} = R \setminus A^{(1)}.$$

Поверхность, разделяющая эти множества (сама она при  $x_2 \geq c$  входит в  $B^{(1)}$ , а при  $x_2 < c$  в  $A^{(1)}$ ), составляется следующим образом из траекторий систе-



мы (3.1). Из точки  $m$  в обратном времени выпустим в полуплоскости  $Q_1$  движение системы (3.1) при  $u = -\mu$ ,  $v_1 = 0$  ( $u = \mu$ ,  $v_1 = 0$ ; при  $x_2 = -c$  оно попадает на ось  $x_2$ , продолжим его в полуплоскости  $Q_2$  при  $u = \mu$ ,  $v_1 = 0$ ). Полученную кривую обозначим через  $ma_1$  ( $c_1m$ ) (рис. 1). Из каждой точки кривой  $ma_1$  ( $c_1m$ ) в обратном времени выпустим движение системы (3.1) при  $u = -\mu$  ( $u = \mu$ ),  $v_1 = 0$ ,  $v_2 = v$ . Траектории этих движений в целом и образуют разделяющую поверхность.

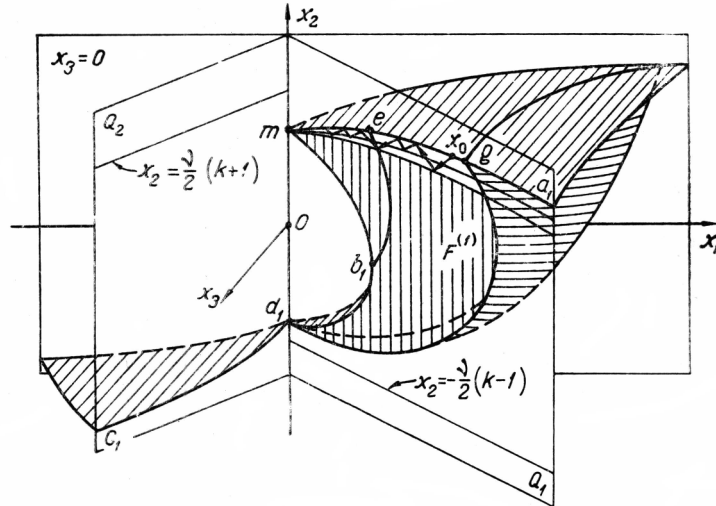


Рис. 1

Примечание. В дальнейшем множества  $A^{(i)}$  и  $B^{(i)}$  будем получать следующим способом на основе некоторой кривой  $\varphi^{(i)}$ , лежащей в множестве  $Q$ . Из каждой точки этой кривой с координатой  $x_2 \geq c$  ( $x_2 < c$ ) выпустим в обратном времени движение системы (3.1) при  $u = -\mu$  ( $u = \mu$ ),  $v_1 = 0$ ,  $v_2 = v$ . Совокупность траекторий в целом всегда (в силу вида кривой  $\varphi^{(i)}$ ) будет составлять поверхность, разделяющую множество  $R$  на два подмножества; одно из них будет содержать множество  $A^{(1)}$ , его обозначим через  $A^{(i)}$ , второе — через  $B^{(i)}$ . Часть разделяющей поверхности при  $x_2 \geq c$  ( $x_2 < c$ ) условимся включать в  $B^{(i)}$  ( $A^{(i)}$ ). Ради краткости будем говорить, что кривая  $\varphi^{(i)}$  порождает разбиение множества  $R$  на множества  $A^{(i)}$  и  $B^{(i)}$ .

За первое приближение к тактике  $\{u^0, \delta^0\}$  возьмем тактику  $\{u^{(1)}, \delta^{(1)}\}$ . Последовательность  $(\delta_n^{(1)}[x])$  определим на кривой  $ma_1$  с помощью последовательности вспомогательных кривых. Для этого выберем на плоскости  $x_1, x_2$  убывающую последовательность  $(x_1 = \psi_n(x_2))$ ,  $x_2 \geq c$ ,  $\psi_n(c) = 0$ ,  $n = 1, 2, \dots$ , непрерывных возрастающих функций, сходящуюся к функции  $\frac{x_2^2 - c^2}{2\mu}$ ,  $x_2 \geq c$ . Проектируя эту последовательность параллельно оси  $x_3$  на полуплоскость  $Q_1$ , получим в  $Q_1$  последовательность кривых  $(x_1 = \psi_n(x_2))$ , сходящуюся при  $n \rightarrow \infty$  к кривой  $ma_1$ . Положим  $\delta_n^{(1)}[x]$  на  $ma_1$  равным наименьшему (по  $v_1(t)$ ) времени движения системы (3.1) из точки  $x$  до кривой  $x_1 = \psi_n(x_2)$  при  $u = -\mu$ .

Если игрок  $P$  применяет функции  $u^{(1)}[x]$ ,  $\delta_n^{(1)}[x]$ , то при любой реализации  $v_1(t)$  фазовая точка после попадания на кривую  $ma_1$  движется в полуплоскости  $Q_1$  между кривыми  $ma_1$  и  $x_1 = \psi_n(x_2)$  в направлении точки  $m$ .

Одна из возможных траекторий показана на рис. 1. В пределе при  $n \rightarrow \infty$  фазовая точка идет по кривой  $ma_1$ . Время движения по  $ma_1$  от точки  $x^{(1)}$  до точки  $x^{(2)}$ ,  $x_2^{(2)} < x_2^{(1)}$ , зависит от реализации  $v_1(t)$ . Оно минимально при  $v_1(t) \equiv 0$  и максимально при  $v_1(t) = v + \frac{2}{k+1} (x_2(t) - v)$ .

Обозначим через  $\{M\}$  множество реализаций  $u(t)$ ,  $t \geq t_0$ , каждая из которых в паре с управлением  $v_1^{(1)}[x]$  не выводит систему (3.1) при  $t \geq t_0$  из множества  $M \ni m$  до момента попадания ее в точку  $m$ .

Утверждение 5.1. Для начальных позиций  $x_0 \in \bar{A}^{(1)}$

$$\lim_{n \rightarrow \infty} \sup_{v_1(\cdot) \in \{v_1\}} T_{u^{(1)}, \delta_n^{(1)}, v_1(\cdot)} [x_0] = T^{(1)} [x_0] = \inf_{u(\cdot) \in \{\bar{A}^{(1)}\}} T_{v_1^{(1)}, u(\cdot)} [x_0]. \quad (5.2)$$

Доказательство. 1) Пусть игрок  $P$  применяет тактику  $\{u^{(1)}, \delta^{(1)}\}$ . Можно показать, что при любом  $n$  и любом  $x_0 \in \bar{A}^{(1)}$

$$\sup_{v_1(\cdot) \in \{v_1\}} T_{u^{(1)}, \delta_n^{(1)}, v_1(\cdot)} [x_0] = T_{u^{(1)}, \delta_n^{(1)}, v_1^{(1)}} [x_0].$$

Отсюда следует левое равенство в (5.2).

Допустим теперь, что игрок  $E$  использует управление  $v_1^{(1)}[x]$ . В этом случае завершающий этап игры происходит в множестве  $\bar{A}_1^{(1)}$ .

2) Если при  $t \geq t_0$  фазовая точка не заходит в множество  $L \cap \bar{A}^{(1)}$  (т. е. передвигается в  $\bar{A}^{(1)}$ ), то нетрудно показать, что при  $x_0 \in \bar{A}^{(1)}$

$$T^{(1)} [x_0] = \inf_{u(\cdot) \in \{\bar{A}^{(1)}\}} T_{v_1^{(1)}, u(\cdot)} [x_0]. \quad (5.3)$$

3) Предположим, что фазовая точка заходит в множество  $L_1 \cap \bar{A}^{(1)}$ . Пусть  $t_1 \geq t_0$  — такой момент, что  $x(t_1 + 0) \in L_1 \cap \bar{A}^{(1)}$ . В этот момент фазовая точка находится либо в  $Q_1$  при  $x_2 \leq -\frac{v}{2} (k - 1)$ , либо в  $L_1 \cap \bar{A}^{(1)}$ .

Определим наименьший момент  $t_2 > t_1$ , когда она входит в полуплоскость  $Q_1$ . Это возможно только при  $x_2(t_2) > -\frac{v}{2} (k - 1)$  и, значит, с учетом допущения (см. (5.2)) о невыходе системы (3.1) из  $\bar{A}^{(1)}$ ,  $x(t_2) \in \bar{A}_1^{(1)}$ .

Если в момент  $t_1$  фазовая точка была в  $Q_1$  на прямой  $x_2 = -\frac{v}{2} (k - 1)$  (т. е. в  $\bar{A}_1^{(1)}$ ), то последующий выход ее в  $L_1 \cap \bar{A}_1^{(1)}$ , а затем вход в  $\bar{A}_1^{(1)}$  означает смену позиции в множестве  $\bar{A}_1^{(1)}$ . Выпустим из точки  $x(t_1)$  в момент  $t_1$  эталонное движение  $x^{(1)}(t)$ . Эталонная точка попадет в  $\bar{A}_1^{(1)}$  не позже фазовой, ибо в течение общего времени движения обеих точек в  $L_1 \cap \bar{A}^{(1)}$   $x_3^{(1)}(t) = x_3(t)$ ,  $x_1^{(1)}(t) \leq x_1(t)$ . Поэтому в момент  $t_2$  получим  $x_3^{(1)}(t_2) \leq x_3(t_1) + v(t_2 - t_1) = x_3(t_2)$ . Если в момент  $t_2$  эталонная точка находится на кривой  $ma_1$ , то отсюда будет следовать неравенство

$$T^{(1)} [x^{(1)}(t_2)] \leq T^{(1)} [x(t_2)]. \quad (5.4)$$

Если же она не находится на  $ma_1$ , то это неравенство будет верно потому, что тогда  $x_2^{(1)}(t_2) \geq x_2(t_2)$ .

В множестве  $L_2 \cap \bar{A}^{(1)}$  фазовая точка может быть только на начальном отрезке времени, начинающемся с момента  $t_0$ . Отсюда и из (5.3), (5.4) вытекает, что при  $x_0 \in \bar{A}^{(1)} \setminus L_2$  с момента  $t_0$  фазовое движение должно совпадать с эталонным движением  $x^{(1)}(t)$ , выпущенным из точки  $x_0$  (тогда получится наилучший для игрока  $E$  результат; в подобном смысле аналогичные выражения употребляются и дальше).

4) Пусть  $x_0 \in L_2 \cap \bar{A}^{(1)}$ . Обозначим через  $t_3$  момент попадания фазовой точки в полуплоскость  $Q_2$ . В этот момент  $x(t_3) \in \bar{A}_2^{(1)}$ . При  $t \geq t_3$  фазовое движение должно совпадать с эталонным. Выпустим в момент  $t_0$  из точки  $x_0$  эталонное движение  $x^{(1)}(t)$ . Оно попадет в множество  $\bar{A}_2^{(1)}$  не раньше фазового, ибо в течение общего времени движения обеих точек в  $L_2 \cap \bar{A}^{(1)}$   $x_3^{(1)}(t) = x_3(t)$ ,  $x_1^{(1)}(t) \leq x_1(t)$ . Момент попадания эталонной точки в  $\bar{A}_2^{(1)}$  обозначим через  $t_4$ . Получим

$$x_3^{(1)}(t_4) = x_3(t_0) + v(t_4 - t_0) \geq x_3(t_0), \quad x_2^{(1)}(t_4) \geq x_2(t_4).$$

Поэтому

$$T^{(1)}[x^{(1)}(t_4)] \leq T^{(1)}[x(t_4)].$$

Из результатов пунктов 2), 3), 4) вытекает правое равенство в (5.2). Утверждение доказано.

Время  $\hat{T}^{(1)}[x_0]$  непрерывно в  $R \setminus \bar{A}^{(1)}$ . Продолжим его по непрерывности на поверхность, разделяющую множества  $A^{(1)}$  и  $B^{(1)}$ . Обозначим это продолжение через  $\hat{T}_*^{(1)}[x_0]$ . Предельное движение, которому оно соответствует, обозначим через  $\hat{x}_*^{(1)}(t)$ .

Из точки  $b_1$  — точки пересечения кривой  $mc_1$  с плоскостью  $x_2 = 0$  (рис. 1), выпустим эталонное движение  $x^{(1)}(t)$ . Точку попадания этого движения на кривую  $ma_1$  обозначим через  $e$ . В множестве  $\bar{A}^{(1)}$  выделим максимальное подмножество  $C^{(1)}$ , состоящее из траекторий эталонного движения  $x^{(1)}(t)$ , приходящих на кривую  $[me]$ . Множеством  $\tilde{C}^{(1)}$  (см. (5.1)) будет криволинейный треугольник  $mb_1e$  (рис. 1).

Утверждение 5.2. Для начальных позиций  $x_0 \in (R \setminus \bar{A}^{(1)}) \cup C^{(1)}$

$$\hat{T}^{(1)}[x_0] = \inf_{u^{(\cdot)}, v_1^{(1)}, u^{(\cdot)}} T_{v_1^{(1)}, u^{(\cdot)}}[x_0].$$

Доказательство. Допустим, что игрок  $E$  применяет управление  $\hat{v}_1^{(1)}[x]$ . В этом случае завершающий этап игры происходит в множестве  $\bar{A}^{(1)}$ .

1) Пусть  $t_1$  — момент времени, начиная с которого движение фазовой точки до момента попадания в точку  $m$  происходит в  $\bar{A}^{(1)}$ . Из утверждения 5.1 и несложного сравнения функций  $\hat{T}^{(1)}[x_0]$  и  $T^{(1)}[x_0]$ ,  $x_0 \in \bar{A}^{(1)}$ , следует, что с момента  $t_1$  фазовое движение должно совпадать с эталонным движением  $\hat{x}^{(1)}(t)$ .

2) Пусть  $t_1$  — момент, при котором  $x(t_1) \in R \setminus \bar{A}^{(1)}$ . Определим наименьший момент  $t_2 > t_1$ , когда фазовая точка входит в  $\bar{A}^{(1)}$ . Из точки  $x(t_1)$  в момент  $t_1$  выпустим эталонное движение  $\hat{x}^{(1)}(t)$ . Это движение до момента  $t_2$  либо уже пройдет через точку  $m$ , либо в момент  $t_2$  будет находиться в  $\bar{A}^{(1)}$ . В последнем случае будет выполняться неравенство

$$\hat{T}^{(1)}[\hat{x}^{(1)}(t_2)] \leq \hat{T}^{(1)}[x(t_2)].$$

3) Предположим, что при  $x(t_0) \in R \setminus \bar{A}^{(1)}$  фазовое движение до момента попадания в множество  $\bar{A}^{(1)}$  совпадает с эталонным движением  $\hat{x}^{(1)}(t)$ .

Пусть  $t_1$ —момент выхода фазовой точки из  $\bar{A}^{(1)}$ . Выйти из множества  $\bar{A}^{(1)}$  фазовая точка может либо через участок граничной поверхности при  $0 < x_2 < c$ , либо при  $x_2 > c$ .

В первом случае  $\hat{T}^{(1)}[x(t_1)] < \hat{T}_*^{(1)}[x(t_1)]$ .

Допустим, что реализуется второй случай. Обозначим  $t_2 = \min\{t : t < t_1, x(t) \in C^{(1)}\}$ . Выпустим в момент  $t_1$  из точки  $x(t_1)$  движение  $\hat{x}_*^{(1)}(t)$ . Момент попадания его на кривую  $c_1 db_1$  обозначим через  $t_3$ . В момент  $t_2$  из точки  $x(t_2)$  выпустим движение  $\hat{x}^{(1)}(t)$ . Это движение либо до момента  $t_3$  пройдет через точку  $m$ , либо будет находиться в этот момент на кривой  $[me]$ . Отсюда

$$\hat{T}^{(1)}[x(t_2)] < \hat{T}_*^{(1)}[x(t_1)].$$

Доказываемое утверждение вытекает из результатов пунктов 1), 2), 3).

Из точки  $d_1$ —точки пересечения кривой  $c_1 b_1$  с осью  $x_2$ , выпустим эталонное движение  $x^{(1)}(t)$ . Точку, в которой это движение попадает на кривую  $ma_1$ , обозначим через  $g$ . Выделим в множестве  $\bar{A}^{(1)}$  максимальное подмножество  $F^{(1)}$ , состоящее из траекторий эталонного движения  $x^{(1)}(t)$ , проходящих на кривую  $[mg]$ . Множеством  $\bar{F}^{(1)}$  будет криволинейный треугольник  $md_1g$  (рис. 1).

Утверждение 5.3. Для любой начальной позиции  $x_0 \in F^{(1)}$  тактика  $\{u^{(1)}, \delta^{(1)}\}$  является оптимальной тактикой игрока  $P$ , а управление  $v_1^{(1)}[x]$  — оптимальным управлением обратной связи игрока  $E$ . Время  $T^{(1)}[x_0]$  совпадает в  $F^{(1)}$  с ценой игры.

Доказательство. Пусть  $x_0 \in F^{(1)}$ . Предположим, что до момента  $t_1$  первого выхода фазовой точки из множества  $\bar{A}^{(1)}$  игрок  $E$  возбуждает реализации  $v_1(t)$  с помощью управления  $v_1^{(1)}[x]$ , а при  $t > t_1$ —с помощью управления  $\hat{v}_1^{(1)}[x]$ .

Допустим, что момент  $t_1$  конечен. Тогда на основании утверждения 5.2 при  $t \geq t_1$  фазовое движение должно совпадать с движением  $\hat{x}_*^{(1)}(t)$ .

Если выход осуществляется через участок границы при  $0 < x_2 < c$ , то

$$T^{(1)}[x(t_1)] < \hat{T}_*^{(1)}[x(t_1)]. \tag{5.5}$$

Пусть реализуется вторая возможность: выход через границу множества  $\bar{A}^{(1)}$  при  $x_2 > c$ . Из точки  $x(t_1)$  в момент  $t_1$  выпустим движение  $\hat{x}_*^{(1)}(t)$ . Через  $t_2$  обозначим момент попадания его (после разворота вокруг точки  $m$ ) на кривую  $ma_1$ . Из точки  $x_0$  в момент  $t_0$  выпустим эталонное движение  $x^{(1)}(t)$ . Это движение либо до момента  $t_2$  пройдет через точку  $m$ , либо будет находиться в момент  $t_2$  на кривой  $[mg]$ ; в последнем случае будет выполняться неравенство  $x_2^{(1)}(t_2) < \hat{x}_2^{(1)}(t_2)$ . Поэтому

$$T^{(1)}[x(t_0)] < (t_1 - t_0) + \hat{T}_*^{(1)}[x^{(1)}(t_1)]. \tag{5.6}$$

Доказываемое утверждение вытекает из соотношений (5.2), (5.5), (5.6).

3. Рассмотрим начальные позиции в множестве  $\bar{B}^{(1)}$ , близкие к кривой  $d_1 b_1$ . Легко видеть, что если игрок  $P$  применяет тактику  $\{u^{(1)}, \delta^{(1)}\}$ , то он

гарантирует себе время перевода из таких позиций в точку  $m$ , равное  $T^{(1)}[x_0]$ . Однако это не самое меньшее время, какое он может гарантировать. Оптимальное решение с точки зрения игрока  $P$  будет тогда, когда он начнет переключаться на экивокальной кривой [2], выпущенной из точки  $b_1$  и проходящей в  $\tilde{B}^{(1)}$ . Переключение на этой кривой будет оптимальным и с точки зрения игрока  $E$ .

Для каждой точки  $x_0$  на экивокальной кривой должно выполняться равенство  $t^{(1)}[x_0] = t^{(2)}[x_0]$ , где  $t^{(1)}[x_0]$  — время траверсирующего движения, а  $t^{(2)}[x_0]$  — время проникающего движения.

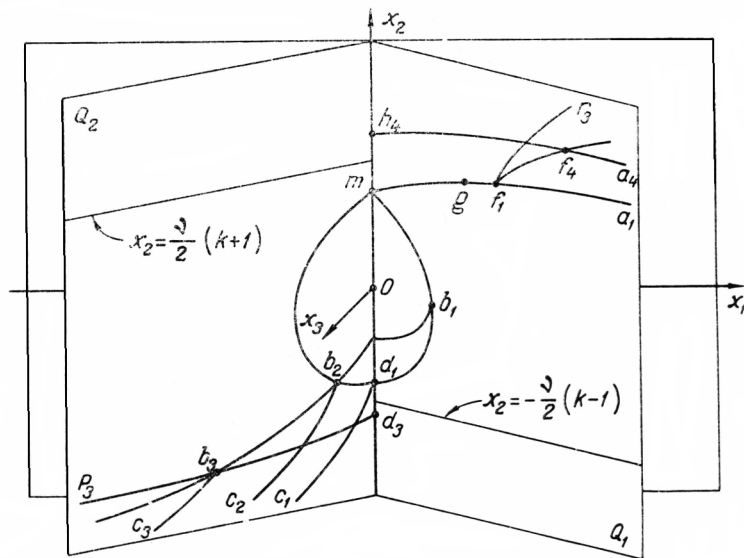


Рис. 2

Траверсирующее движение — это движение системы (3.1), которое идет по экивокальной кривой от точки  $x_0$  до точки  $b_1$  при  $v_1 = 0$  и продолжается от точки  $b_1$  эталонным движением  $x^{(1)}(t)$ . Проникающее движение также начинается в точке  $x_0$ , но сразу же сходит с экивокальной кривой вправо и идет в множестве  $\tilde{B}^{(1)}$  при  $u = \mu$ ,  $v_1(x) = \omega(x)$  до момента попадания на кривую  $d_1 b_1$ , затем продолжается эталонным движением  $x^{(1)}(t)$ .

Построение экивокальной кривой может быть проделано примерно так же, как в [1, § 4].

Будем считать, что экивокальная кривая построена. Из точки  $m$  выпустим движение  $x^{(1)}(t)$ . Точку пересечения траектории этого движения с экивокальной кривой обозначим через  $b_2$  (рис. 2). Из точки  $b_2$  в обратном времени выпустим в полуплоскости  $Q_2$  движение системы (3.1) при  $u = \mu$ ,  $v_1 = 0$ . Полученную кривую обозначим через  $c_2 b_2$ . Кривая  $c_2 b_2 m a_1$  порождает разбиение множества  $R$  на множества  $A^{(2)}$  и  $B^{(2)}$ .

Функции  $u^{(2)}[x]$ ,  $v_1^{(2)}[x] \in V_1^{(2)}$  были определены в начале параграфа. Укажем принцип построения последовательности  $(\delta_n^{(2)}[x])$  на кривых  $m a_1$  и  $b_2 b_1$ .

На кривой  $m a_1$  положим  $(\delta_n^{(2)}[x]) = (\delta_n^{(1)}[x])$ . На экивокальной кривой  $b_2 b_1$   $(\delta_n^{(2)}[x])$  выберем так, чтобы при любом  $n$  дискретная схема не вырождалась и чтобы при  $v_1^{(2)}[x] = 0$  на  $b_2 b_1$  эталонное движение  $x^{(2)}(t)$  после попадания на экивокальную кривую шло по ней в направлении точки  $b_1$ .

Построение такой последовательности можно выполнить с помощью вспомогательных кривых, лежащих в множестве  $\tilde{B}^{(1)}$ .

Поясним, как ведет себя эталонное движение  $x^{(2)}(t)$  после попадания на эквивокальную кривую  $b_2b_1$ . Пусть  $x^*$  — точка попадания. Если в точке  $x^*$   $v_1^{(2)}[x^*] = \omega(x^*)$ , то эталонное движение сходит с кривой  $b_2b_1$  во внутренность множества  $\tilde{A}^{(2)}$ ; если в точке  $x^*$   $v_1^{(2)}[x^*] = 0$ , эталонное движение в течение некоторого времени идет по кривой  $b_2b_1$  в направлении точки  $b_1$ . Заметим, что скорость движения системы (3.1) по эквивокальной кривой  $b_2b_1$  в направлении точки  $b_1$  будет наименьшей именно тогда, когда на этой кривой  $v_1[x] = 0$ .

Выделим в множестве  $\bar{A}^{(2)} (\bar{B}^{(2)})$  максимальное подмножество  $C^{(2)} (D^{(2)})$ , состоящее из траекторий эталонного движения  $x^{(2)}(t)$ , приходящих на кривую  $[mg] ([b_2b_1])$ .

Используя свойства эквивокальной кривой, утверждения 5.1—5.3, можно доказать следующее утверждение.

**Утверждение 5.4.** *Для любой начальной позиции  $x_0 \in F^{(2)} = C^{(2)} \cup D^{(2)}$  тактика  $\{u^{(2)}, \delta^{(2)}\}$  является оптимальной тактикой игрока  $P$ , а любое управление  $v_1^{(2)}[x] \in V_1^{(2)}$  — оптимальным управлением обратной связи игрока  $E$ . Время  $T^{(2)}[x_0]$  совпадает в  $F^{(2)}$  с ценой игры.*

Пусть  $T_*^{(2)}[x_0]$  — продолжение по непрерывности функции  $T^{(2)}[x_0]$  из множества  $R \setminus \bar{A}^{(2)}$  на поверхность, разделяющую множества  $A^{(2)}$  и  $B^{(2)}$ . Определим на кривой  $ma_1$  точку  $f_1$  (рис. 2), для которой  $T^{(2)}[f_1] = T_*^{(2)}[f_1]$  (при этом для точек  $x_0 \in [mf_1]$  будет выполнено неравенство  $T^{(2)}[x_0] < T_*^{(2)}[x_0]$ , а для  $x_0 \in (f_1a_1)$  — неравенство  $T^{(2)}[x_0] > T_*^{(2)}[x_0]$ ). Выделим в множестве  $\bar{A}^{(2)}$  максимальное подмножество  $G$ , состоящее из траекторий эталонного движения  $x^{(2)}(t)$ , приходящих на кривую  $[mf_1]$ .

Из точки  $b_2$  выпустим эквивокальную кривую (свойства ее аналогичны свойствам кривой  $b_2b_1$ ). Среди точек множества  $G$ , лежащих на оси  $x_2$ , найдем точку с минимальной координатой  $x_2$  (точка  $d_3$ ). Из точки  $d_3$  в обратном времени выпустим в полуплоскости  $Q_3$  движение системы (3.1) при  $u = \mu$ ,  $v_1(x) = \omega(x)$  (кривая  $d_3p_3$  на рис. 2). Можно показать, что эквивокальная кривая, выращиваемая из точки  $b_2$ , пересекает кривую  $d_3p_3$ ; точку пересечения обозначим через  $b_3$ . Из точки  $b_3$  в обратном времени выпустим в полуплоскости  $Q_2$  движение системы (3.1) при  $u = \mu$ ,  $v_1 = 0$  (траектория  $c_3b_3$ ). Кривая  $c_3b_3b_1ma_1$  (рис. 2) порождает разбиение множества  $R$  на множества  $A^{(3)}$  и  $B^{(3)}$ .

Из точки  $f_1$  в обратном времени выпустим в полуплоскости  $Q_1$  движение системы (3.1) при  $u = -\mu$ ,  $v_1(x) = \omega(x)$  (траектория  $f_1r_3$ ). Из каждой точки кривой  $f_1r_3$  в обратном времени выпустим движение при  $u = -\mu$ ,  $v_1 = 0$ ,  $v_2 = v$ . Полученная так поверхность делит множество  $B^{(3)}$  на две части; ту из них, что пересекается с осью  $x_2$ , обозначим через  $K^{(3)}$ . В множестве  $\bar{A}^{(3)} (\bar{K}^{(3)})$  выделим максимальное подмножество  $C^{(3)} (D^{(3)})$ , состоящее из траекторий эталонного движения  $x^{(3)}(t)$ , приходящих на кривую  $[mf_1] ([b_3b_1])$ . На поверхности, разделяющей множества  $A^{(3)}$  и  $B^{(3)}$ , выделим максимальное подмножество  $\alpha_1$ , состоящее из траекторий эталонного движения  $x^{(3)}(t)$ , приходящих на кривую  $[mf_1]$ . Через  $\alpha_2$  обозначим часть разделяющей поверхности при  $0 < x_2 < c$ . Пусть  $\alpha = \alpha_1 \cup \alpha_2$ .

На кривой  $ma_1$  положим  $(\delta_n^{(3)}[x]) = (\delta_n^{(1)}[x])$ . На эквивокальной кривой  $b_3b_1$  последовательность  $(\delta_n^{(3)}[x])$  выберем так, чтобы при любом  $n$  дискретная

схема не вырождалась и чтобы при  $v_1^{(3)}[x] = 0$  на  $b_3b_1$  эталонное движение  $x^{(3)}(t)$  после попадания на эту кривую шло по ней в направлении точки  $b_1$ . Справедливо следующее утверждение.

**Утверждение 5.5.** Для любой начальной позиции  $x_0 \in F^{(3)} = C^{(3)} \cup D^{(3)}$  тактика  $\{u^{(3)}, \delta^{(3)}\}$  является оптимальной тактикой игрока  $P$ , а любое управление  $v_1^{(3)}[x] \in V_1^{(3)}$  — оптимальным управлением обратной связи игрока  $E$ . Время  $T^{(3)}[x_0]$  совпадает в  $F^{(3)}$  с ценой игры. Оно непрерывно всюду в  $F^{(3)}$ , исключая поверхность  $\alpha$ .

4. Рассмотрим начальные позиции на кривой  $f_1a_1$ . Для них  $T^{(3)}[x_0] \geq T_*^{(3)}[x_0]$  (равенство лишь для точки  $f_1$ ), где  $T_*^{(3)}[x_0]$  — продолжение по непрерывности из множества  $R \setminus \bar{A}^{(3)}$  функции  $T^{(3)}[x_0]$  на поверхность, разделяющую множества  $A^{(3)}$  и  $B^{(3)}$ . Поэтому если бы в множестве  $\overset{\circ}{B}_1^{(3)} = \bar{B}_1^{(3)} \setminus [ma_1)$  функция  $v_1[x]$  равнялась нулю, то игроку  $P$  было бы выгоднее сбросить фазовую точку в множество  $\overset{\circ}{B}_1^{(3)}$ , чем удерживать ее на  $f_1a_1$ ; другими словами, игроку  $P$  в этом случае было бы выгоднее переключиться не на линию  $f_1a_1$ , а на линию несколько сдвинутой (относительно  $f_1a_1$ ) в  $\overset{\circ}{B}_1^{(3)}$ . Однако и игрок  $E$  может изменить свою линию переключения. Возникает ситуация, приводящая к компромиссному решению с помощью экивокальной кривой, выходящей из точки  $f_1$  и проходящей в  $\overset{\circ}{B}_1^{(3)}$ .

Для любой начальной позиции  $x_0$  на экивокальной кривой время траверсирующего движения должно быть равно времени проникающего движения. Траверсирующее движение в этом случае — это движение системы (3.1), которое идет по экивокальной кривой от точки  $x_0$  до точки  $f_1$  при  $v_1(x) = \omega(x)$  и продолжается от точки  $f_1$  эталонным движением  $x^{(3)}(t)$ . Проникающее движение также начинается в точке  $x_0$ , оно совпадает с эталонным движением  $x^{(3)}(t)$ ; это движение сразу же сходит с экивокальной кривой.

Среди точек множества  $D^{(3)}$ , лежащих на оси  $x_2$ , найдем точку с максимальной координатой  $x_3$  (точка  $h_4$ ). Из точки  $h_4$  в обратном времени выпустим эталонное движение  $x^{(3)}(t)$  (траектория  $h_4a_4$ ). Экивокальная кривая пересекает кривую  $h_4a_4$ . Точку пересечения обозначим через  $f_4$ . Положим  $c_4 = c_3$ ,  $b_4 = b_3$ . Кривая  $c_4b_4b_1mf_1f_4a_4$  (рис. 3) порождает разбиение множества  $R$  на множества  $A^{(4)}$  и  $B^{(4)}$ .

На кривых  $b_4b_1$  и  $mf_1$  положим  $(\delta_n^{(4)}[x]) = (\delta_n^{(3)}[x])$ . На кривой  $f_1a_4$  последовательность  $(\delta_n^{(4)}[x])$  выберем так, чтобы дискретная схема при любом  $n$  не вырождалась и чтобы при  $v_1^{(4)}[x] = \omega(x)$  на  $f_1a_4$  эталонное движение  $x^{(4)}(t)$  после попадания на эту кривую шло по ней в направлении точки  $f_1$ .

В множестве  $\bar{A}^{(4)}$  ( $B^{(4)}$ ) выделим максимальное подмножество  $C^{(4)}$  ( $D^{(4)}$ ), состоящее из траекторий эталонного движения  $x^{(4)}(t)$ , приходящих на кривую  $[mf_4]$  ( $[b_4b_1]$ ).

**Утверждение 5.6.** Для любой начальной позиции  $x_0 \in F^{(4)} = C^{(4)} \cup D^{(4)}$  тактика  $\{u^{(4)}, \delta^{(4)}\}$  является оптимальной тактикой игрока  $P$ , а любое управление  $v_1^{(4)}[x] \in V_1^{(4)}$  — оптимальным управлением обратной связи игрока  $E$ . Время  $T^{(4)}[x_0]$  совпадает в  $F^{(4)}$  с ценой игры. Оно непрерывно всюду в  $F^{(4)}$ , исключая поверхность  $\alpha$ .

На рис. 3 показано несколько траекторий эталонного движения  $x^{(4)}(t)$ , начинающихся из одной точки  $x_0 \in \bar{A}^{(4)}$ . Расщепление движений происходит в точках  $x^{(1)}$ ,  $x^{(2)}$ ,  $x^{(3)}$ ,  $x^{(4)}$ .

5. Процесс построения оптимальной тактики  $\{u^0, \delta^0\}$  и оптимальных управлений  $v_1^0[x] \in V_1^0$  может быть продолжен. На каждом новом шаге добавляется новый участок экивокальной кривой. При нечетном (четном)  $i \geq 5$  такой участок наращивается в полуплоскости  $Q_2(Q_1)$  из точки  $b_{i-1}(f_{i-1})$ . Наращивание экивокальной кривой производится до тех пор, пока она не выйдет на кривую  $d_i p_i(h_i a_i)$ , где  $d_i(h_i)$  — точка пересечения оси  $x_2$  с нижней (верхней) граничной поверхностью множества  $C^{(i-1)}(D^{(i-1)})$ , а  $d_i p_i(h_i a_i)$  — траектория движения системы (3.1) в полуплоскости  $Q_2(Q_1)$  в обратном

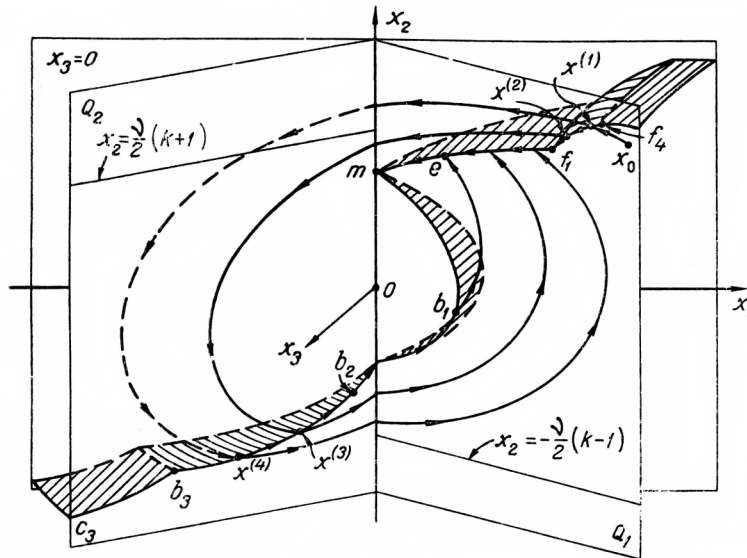


Рис. 3

времени из точки  $d_i(h_i)$  при  $u = \mu$  ( $u = -\mu$ ),  $v_1(x) = \omega(x)$  ( $v_1 = 0$ ). Точку выхода на кривую  $d_i p_i(h_i a_i)$  обозначим через  $b_i(f_i)$ . Если  $i \geq 5$  нечетно (четно), положим  $b_{i+1} = b_i$  ( $f_{i+1} = f_i$ ). На каждом  $i$ -ом шаге,  $i \geq 5$ , экивокальная кривая наращивается в множестве  $\tilde{B}^{(i-1)}$ . Построение не вырождается, ибо с ростом  $i$  увеличивается проекция на ось  $x_2$  добавляемого участка экивокальной кривой.

При  $i \geq 5$  обозначим через  $c_i b_i(f_i a_i)$  траекторию движения системы (3.1) из точки  $b_i(f_i)$  в обратном времени в полуплоскости  $Q_2(Q_1)$  при  $u = \mu$  ( $u = -\mu$ ),  $v_1 = 0$ . Кривая  $c_i b_i m f_i a_i$  порождает разбиение множества  $R$  на множества  $A^{(i)}$  и  $B^{(i)}$ . Из точки  $f_i$  в обратном времени выпустим в полуплоскости  $Q_1$  движение системы (3.1) при  $u = -\mu$ ,  $v_1(x) = \omega(x)$  (траектория  $f_i r_i$ ). Из каждой точки кривой  $f_i r_i$  в обратном времени выпустим движение при  $u = -\mu$ ,  $v_1 = 0$ ,  $v_2 = v$ . Полученная так поверхность делит множество  $B^{(i)}$  на две части; ту из них, что пересекается с осью  $x_2$ , обозначим через  $K^{(i)}$ . Множество  $C^{(i)}(D^{(i)})$ ,  $i \geq 5$ , определяется как максимальное подмножество множества  $\bar{A}^{(i)}(\bar{K}^{(i)})$ , состоящее из траекторий эталонного движения  $x^{(i)}(t)$ , приходящих на кривую  $[m f_i]([b_i b_1])$ . Множество  $F^{(i)} = C^{(i)} \cup D^{(i)}$ .

Последовательность  $(\delta_n^{(i)}[x])$ ,  $i \geq 5$ , задается на кривых  $m f_1 f_i a_i$ ,  $c_i b_i b_1$  так, чтобы при любом  $n$  дискретная схема не вырождалась и чтобы при  $v_1^{(i)}[x] = \omega(x)$  ( $v_1^{(i)}[x] = 0$ ) на кривой  $m f_1 f_i a_i$  ( $c_i b_i b_1$ ) эталонное движение  $x^{(i)}(t)$  после попадания на эту кривую шло по ней в направлении точки  $m(b_1)$ .



Цена игры в пределе при  $i \rightarrow \infty$  определяется на всем множестве  $R$ . Она непрерывна в  $R$  всюду, за исключением поверхности  $\alpha$ .

6. Для того чтобы при любых  $i$  и  $n$  дискретная схема не вырождалась после перехода к более широкому множеству управлений  $v_1, v_2$  (см. первое условие леммы 1.1 и § 3 из [1]) нужно несколько точнее, чем это сделано, определить последовательность  $(\delta_n^{(i)}[x])$ ,  $i \geq 1$ , на поверхности, разделяющей множества  $A^{(i)}$  и  $B^{(i)}$ , а именно, на ее кусках в множестве  $L$  при  $x_2 > c$  и  $x_2 < 0$ . Например, при  $x_2 > c$  и  $x_2 < 0$  можно положить  $(\delta_n^{(i)}[x]) = (\delta_n^{(i)}[x^*])$ , где  $x^*$  — точка на кривой  $ta_i(c_i b_1)$  с координатой  $x_1^* = x_1$ . В целом последовательности  $(\delta_n^{(i)}[x])$ ,  $i = 1, 2, \dots$ , всегда можно подобрать так, чтобы выполнялись оба условия леммы 1.1.

### Литература

1. Пацко В. С. Дифференц. уравнения, 7, № 3, 1971.
2. Айзекс Р. Дифференциальные игры. М., «Мир», 1967.

Поступила в редакцию  
19 марта 1971 г.

Институт математики и механики  
АН СССР